

669.14-155.2: 620.184.6

(621) 浸炭材のフィッシュアイ破面の破壊力学的検討

金材技研 増田千利, 西島敏, 石井明, 住吉英志

1. 緒言

浸炭材の疲れ破壊において低サイクル疲れでは全ひずみ幅が 1×10^{-2} 以下でフィッシュアイ破壊を生じていた。ここではフィッシュアイ破壊のき裂の発生、最終破壊の条件を破壊力学的パラメータに基づいて解析し、類似組織の材料のデータと比較し、残留応力、組織等の影響について検討する。特にフィッシュアイ破壊の中心部においてき裂発生に関与した非金属介在物の寸法及び stage I の上り面の応力軸に対する角度等についてフラクトグラフ的に調べた。

2. 実験方法

供試材は SCM420, SCr420 で小型平滑試験片を用いて歪制御低サイクル及び回転曲げ高サイクル疲れ試験を行った。試験片の有効浸炭深さは約 0.8 mm , 全硬化深さは約 1.2 mm である。浸炭材の表面部硬度は約 $\text{Hv} 800$ で、芯部硬度は約 $\text{Hv} 400$ である。比較材として硬さレベルを同程度とした SK5 鋼を用いた。破面は走査型電子顕微鏡により観察した。

3. 実験結果

(1) フィッシュアイ破壊の中には表面硬化層直下の表面から $1.0 \sim 1.3 \text{ mm}$ の深さで、その中心部には写真 1(a)に示すように直径が $20 \sim 50 \mu\text{m}$ の非金属介在物が認められることが多い。

(2) フィッシュアイ破壊の中心部で非金属介在物が見られれば、場合は、写真 1(b)に示すように応力軸(紙面に対し垂直方向)に対してほぼ 45° 傾斜したファセットが認められる。この特徴は上下の破面で凹凸がほぼすきまなくかみ合うことから、せん断により変形によるオーダ階き裂と考えられる。このオーダ階き裂はその後 mode I 型のき裂に遷移するが、その寸法は約 $30 \mu\text{m}$ と計算から推定される寸法(約 $22 \mu\text{m}$ より大きい)。

(3) き裂発生の応力拡大係数 ΔK_i は試験応力によらず $2.0 \sim 4.7 \text{ MPa} \cdot \text{m}^{1/2}$ の範囲にあり、その平均値は約 $2.9 \text{ MPa} \cdot \text{m}^{1/2}$ である。これは低温焼もどしマルテンサイト組織の場合の ΔK_{th} の平均値 $3.1 \text{ MPa} \cdot \text{m}^{1/2}$ とほぼ一致している(図 1)。なお ΔK_i は次式により計算した。

$$\Delta K_{i(R=0)} = \frac{1}{1.64} \cdot \left\{ 3\pi \cdot \Delta \sigma_{net} \sqrt{\pi a} \right\} \quad (1)$$

ここで $\Delta \sigma_{net}$ は正味応力範囲、 $2a$ は非金属介在物寸法である。

(4) フィッシュアイ破壊が表面に顔を出して急速破壊に移行する時の最大応力拡大係数 $K_f max$ は約 $32 \text{ MPa} \cdot \text{m}^{1/2}$ でほぼ一定となるが、高硬度材の $K_f max$ (約 $22 \text{ MPa} \cdot \text{m}^{1/2}$) より大きく、残留応力の影響があるものと考えられる。

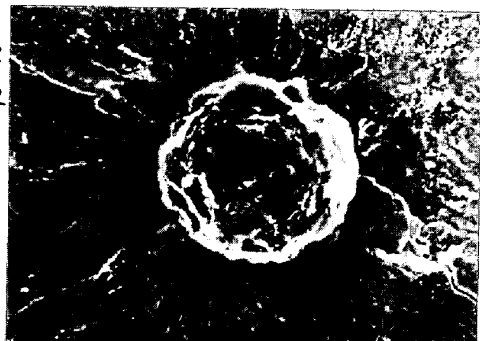
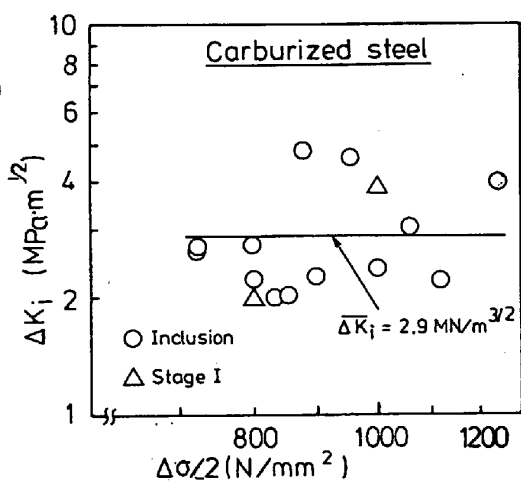


写真 1 フィッシュアイ中心部のフラクトグラフ

図 1. き裂発生の $\Delta K_i(R=0)$ 値と試験応力幅 $\Delta\sigma/2$ との関係

4. 文献省略